

Original Article



Iranian Journal of Remote Sensing and GIS

Affiliation

Dep. of Geomatics, Faculty of Civil and Transportation Engineering, University of Isfahan, Isfahan, Iran

Integration of Multi-Sensor Data and Ground Observations in Order to Improve Accuracy and Spatial Resolution in Near-Surface Water Vapor Retrieval

Mohamad Reza Talari and Mina Moradizadeh*

ABSTRACT

Introduction: Atmospheric water vapor is a key parameter in modeling the energy balance on the earth's surface and plays a major role in keeping the temperature of the earth's atmosphere balanced. Retrieving of this parameter, as the most influential atmospheric parameter on the sensors received radiance, is of great importance. Since the atmospheric water vapor content in the near of surface is more and its temporal and spatial changes are more intense, the measurements of ground meteorological stations, despite their high accuracy, are not generalizable due to temporal and spatial limitations and point measurements. Therefore, it seems necessary to provide practical satellite-based methods to accurate and continuous retrieval of this parameter with appropriate spatial distribution. The aim of this research is to present four innovative and accurate methods to estimate the near surface atmospheric water vapor of Isfahan province in 2020 with a resolution of 1 km, through the integration of meteorological station data, sensor data and finally validating and comparing their performance. For this purpose, correcting the bias error of water vapor sensor data during the co-scaling stage and correcting the interpolation error of ground station observations was put on the agenda.

Material and Methods: Different sensors measure water vapor with different sensitivities and spatial resolution. Therefore, it is necessary to provide methods based on the simultaneous use of different sensor data and their integration to ground station observations, in order to simultaneously improve the accuracy and spatial resolution (1 km) of retrieved near surface water vapor. In the first method used in this research, the near surface water vapor is retrieved using the water vapor absorbing and non-absorbing bands of the MODIS, through the band ratio method and using ground observations. In the second method, first, observations of near surface water vapor of ground stations are converted to 1 km grid using the inverse distance interpolation (IDW) method. Then, during the steps of the proposed method and using the water vapor values estimated by the first method, the interpolation error in each pixel is removed. In the third method, the resolution of AIRS-derived water vapor product is reduced to 1 km by combining MODIS data during an operation similar to the steps of the second method, with the difference that the AIRS sensor product is used instead of ground station observations. It is necessary to eliminate the bias error of near surface water vapor product of the AIRS during the co-scaling stage by first. Estimation of near surface water vapor using MODIS column water vapor product is the fourth method. Of course, due to the difference in content, it is necessary to unite the two sets and equate them with an appropriate method.

Results and Discussion: In order to model and validate the estimation of atmospheric near surface water vapor at a spatial resolution of 1 km using the different mentioned methods, 66.6% of the data were randomly used for training and the remaining 33.3% were used to evaluate the accuracy and validation. Finally, the implementation results of the methods have been compared with each other. The validation results of proposed methods show that the second method, which is based on the generalization of accurate observations of ground stations and removing their interpolation error, during integration with the water vapor values retrieved from first method, has the best performance ($R^2=0.55$, $RMSE=1.05 \text{ Gr/Kr}$).

Conclusion: Considering the better performance of the second method in retrieving the mixing ratio of near surface water vapor with high accuracy and resolution of 1 km, and with the aim of using the capabilities of satellite-based products and data, it is recommended to combine them with each other and also with ground observations.

Keywords: Near-surface water vapor, Multi-sensor data, Bias, MODIS, AIRS.

Citation:

Talari, M. R., Moradizadeh, M., Integration of Multi-Sensor Data and Ground Observations in Order to Improve Accuracy and Spatial Resolution in Near-Surface Water Vapor Retrieval, , Iran J Remote Sens GIS. 17(1):61-78.

* Corresponding Author: m.moradizadeh@eng.ui.ac.ir
DOI: <https://doi.org/10.48308/GISJ.2024.230453.1146>

Received: 2023.01.27
Accepted: 2023.12.25



Copyright: © 2025 by the authors. Submitted for possible open access publication under the terms and conditions of the Creative Commons Attribution (CC BY) license <https://creativecommons.org/licenses/by/4.0/>.

مقاله پژوهشی



بازیابی بخارآب نزدیک به سطح جو با دقت و توان تفکیک مکانی ارتقای افتته از طریق تلفیق داده‌های چندسنجنده‌ای و مشاهدات زمینی

محمد رضا طالاری و مینا مرادیزاده*

سمت

گروه مهندسی نقشه‌برداری، گرایش سنجش از دور، دانشکده عمران و حمل و نقل، دانشگاه اصفهان، اصفهان، ایران

سابقه و هدف: بخارآب موجود در جو پارامتری محوری در مدل‌سازی تعادل انرژی در سطح زمین است و در متعدد نگاه داشتن دمای جو کره زمین نقش مهمی دارد. بازیابی این پارامتر، بهمنزله تأثیرگذارترین عامل جوی در رادیانس دریافتی سنجنده، از اهمیت بسیاری برخوردار است. از آنجاکه محتوای بخارآب جو در لایه نزدیک به سطح بیشتر و تغییرات زمانی و مکانی آن شدیدتر است، اندازه‌گیری ایستگاه‌های هواشناسی زمینی به رغم دقت بالا، بدليل محدودیت‌های زمانی و مکانی و اندازه‌گیری نقطه‌ای، قابلیت تعیین پذیری ندارند. ازین‌رو ارائه روش‌های ماهواره‌محور کاربردی بهمنظور بازیابی دقیق و مداوم آن، با توزیع مکانی مناسب ضروری به نظر مرسد. هدف این تحقیق بیان چهار روش نوآورانه و دقیق برای برآورد نسبت اختلاط بخارآب نزدیک به سطح جو استان اصفهان در سال ۱۳۹۹، با توان تفکیک ۱ کیلومتر، از طریق تلفیق داده‌های ایستگاه‌های هواشناسی، داده‌های سنجنده و درجه‌ایت، اعتبارسنجی و مقایسه عملکرد آنهاست. بدینمنظور تصحیح خطای اربی داده‌های بخارآب سنجنده طی مرحله هم‌مقیاس‌سازی و تصحیح خطای درون‌یابی مشاهدات ایستگاه‌های زمینی در دستور کار قرار گرفت.

مواد و روش‌ها: سنجنده‌های گوناگون قابلیت اندازه‌گیری بخارآب، با توان تفکیک مکانی و حساسیت‌های متفاوت به این پارامتر را دارند. ازین‌رو مطرح کردن روش‌هایی، مبتنی بر استفاده و تلفیق همزمان داده‌های سنجنده‌ها و مشاهدات ایستگاه‌های زمینی، بهمنظور ارتقای همزمان توان تفکیک مکانی (یک کیلومتر) و دقت بازیابی بخارآب نزدیک به سطح جو ضروری است. در نخستین روش به کاررفته در این تحقیق، با استفاده از باندهای جذب و غیرجذب بخارآب سنجنده مادیس (MODIS) طی روش نسبت باندی و با استفاده از مشاهدات زمینی، بخارآب نزدیک به سطح بازیابی می‌شود. در روش دوم، ابتدا مشاهدات بخارآب نزدیک به سطح ایستگاه‌های زمینی، با روش درون‌یابی معکوس فاصله، به داده‌های بخارآب سطحی یک کیلومتری تبدیل می‌شود. سپس طی مراحل روش پیشنهادی و با استفاده از مقادیر نسبت اختلاط بخارآب برآورده شده با روش اول، خطای درون‌یابی در هر پیکسل حذف می‌شود. در روش سوم، با تلفیق داده‌های مادیس طی عملیاتی شبیه مراحل روش دوم، توان تفکیک محصول بخارآب سنجنده AIRS به یک کیلومتر ارتقا داده می‌شود؛ با این تفاوت که به جای مشاهدات ایستگاه‌های هواشناسی زمینی، از محصول سنجنده AIRS استفاده می‌شود. از آنجاکه محصول نسبت اختلاط بخارآب نزدیک به سطح سنجنده AIRS دارای خطأ و اربی است، ابتدا باید با اعتبارسنجی محصولات این سنجنده، خطای اربی محصول بخارآب نزدیک به سطح سنجنده AIRS، طی مرحله هم‌مقیاس‌سازی، حذف شود. برآورد بخارآب نزدیک به سطح جو با استفاده از محصول بخارآب جو سنتونی سنجنده مادیس آخرین روش به کاررفته است. البته بدليل تفاوت محتوایی، لازم است دو مجموعه داده هموحد شوند و با روشی معادل‌سازی شوند.

نتایج و بحث: بهمنظور مدل‌سازی و اعتبارسنجی برآورد بخارآب نزدیک به سطح جو در توان تفکیک یک کیلومتر با استفاده از چهار روش اشاره شده، ۶۶٪/ داده‌ها به صورت تصادفی برای آموزش و ۳۳٪/ مباقی برای ارزیابی دقت و اعتبارسنجی نتایج به کار رفته است. درجه‌ایت نیز، نتایج اجرای روش‌ها با یکدیگر مقایسه شد. در این تحقیق، ضریب تعیین (R^2) و جذر میانگین مربعات خطای (RMSE) ملاک ارزیابی دقت و عملکرد مدل‌سازی قرار گرفته‌اند. نتایج اعتبارسنجی نشان می‌دهد روش دوم که مبتنی بر استفاده از تعیین مشاهدات دقیق بخارآب نزدیک به سطح ایستگاه‌های زمینی و حذف خطای درون‌یابی آنها، طی تلفیق با مقادیر بخارآب بازیابی شده از سنجنده مادیس از طریق روش نسبت باندی است، بهترین عملکرد ($RMSE=1.05 \text{ Gr/Kr}^R=0.55$) را در تخمین بخارآب نزدیک به سطح جو را دارد.

نتیجه‌گیری: روش دوم، با توجه به عملکرد بهتر در بازیابی نسبت اختلاط بخارآب نزدیک به سطح جو با دقت بالا و توان تفکیک یک کیلومتر و با هدف استفاده از قابلیت محصولات و داده‌های ماهواره‌محور، تلفیق آنها با یکدیگر و همچنین با مشاهدات زمینی، توصیه می‌شود.

واژه‌های کلیدی: بخارآب نزدیک به سطح، داده چندسنجنده‌ای، اربی، سنجنده مادیس، سنجنده AIRS.

استناد: طalarی، م.ر., مرادیزاده، م., بازیابی بخارآب نزدیک به سطح جو با دقت و توان تفکیک مکانی ارتقای افتته از طریق تلفیق داده‌های چندسنجنده‌ای و مشاهدات زمینی، نشریه سنجش از دور و GIS ایران، سال ۱۷، شماره ۱، بهار ۱۴۰۴، ۷۸-۶۱:۱۴۰۴.



۱- مقدمه

می‌توان به برآورد میزان بخارآب با استفاده از سنجنده‌های اپتیکی (مبتنی بر استفاده از باندهای حرارتی و یا استفاده از باندهای فروسرخ نزدیک)، رادیومترهای مایکروویو و Bevis et al., 1992; De Haan et al., 2004; Guldner & Späckkuch, 2001; Peters, 2001; Stum et al., 2011; Wolfe & Gutman, 2000 اشاره کرد (GPS ۳). این روش‌ها، در صورت نداشتن حساسیت بالا به میزان و تغییرات ترکیبات دیگر جو و همچنین نوع و تغییرات ویژگی‌های سطح زمین، دقت بالاتری در بازیابی خواهد داشت (Sobrino et al., 2003).

روش‌هایی مانند تفاضل پنجره مجزای ۳ باندهای حرارتی، نسبت واریانس‌ها^۱، شبیب برآش^۲ و استفاده از LUT^۳ خروجی مدل انتقال تابشی، برای برآورد بخارآب جوی با استفاده از باندهای حرارتی پیشنهاد شده است (Schrijver et al., 2009). از میان روش‌های برآورد بخارآب مبتنی بر باندهای فروسرخ حرارتی، دو روش شبیب برآش و نسبت واریانس‌ها کمترین همبستگی (R = 0.4) و روش LUT بیشترین همبستگی (R = 0.6) را با مشاهدات زمینی نشان می‌دهند (Schrijver et al., 2009). استفاده از نسبت رادیانس اندازه‌گیری شده در یک باند جذب بخارآب (برای نمونه، محدوده باندی ۰/۹۴۰ یا ۰/۹۳۶ و یا ۰/۹۰۵ میکرومتر) بر باند غیرجذب (مثلاً ۰/۸۶۵) بخارآب یکی از مهم‌ترین روش‌های برآورد بخارآب جو بر فراز خشکی‌ها، با استفاده از باندهای فروسرخ نزدیک است. سوربرینو^۴ و همکاران (۲۰۰۳) از روش نسبت باند^۵‌های جذب بخارآب (باندهای ۱۷، ۱۸ و ۱۹) به یک مدل غیرجذب (باند ۲) سنجنده^۶ مادیس در مدل برآشی آماری، برای

بخارآب جو، بهمنزله یکی از مهم‌ترین ترکیبات جو با توزیع مکانی و زمانی بسیار متغیر، منبع بارندگی و حرکت‌های جوی در مقیاس بزرگ و شاخص مهمی در تعادل انرژی سطح زمین و تأثیرات گلخانه‌ای است (Colman, 2003). این پارامتر در زمینه‌های گوناگونی همچون کشاورزی (Caselles & Sobrino, 1989)، هواشناسی (Rockström et al., 1992)، اکولوژی (Sheil, 2018) و نیز موارد دیگر بسیار تأثیرگذار است. ظرفیت پذیرش بخارآب جو تابعی از دما، جنس و وضعیت سطح است و همین باعث می‌شود توزیع افقی و سنتونی بخارآب در جو یکسان نباشد (Alizadeh, 2017). افزایش ارتفاع و متعاقب آن، کاهش دما باعث کاهش ظرفیت پذیرش بخارآب در لایه‌های بالاتر جو می‌شود (Román et al., 2015). بنابراین، با توجه به مقدار بالای بخارآب جو در لایه نزدیک به سطح و تغییرات زمانی و مکانی بسیار زیاد این پارامتر و همچنین اهمیت آن در مدل‌سازی‌های بیوفرم و هیدرولوژیکی، پایش مستمر و جهانی این پارامتر، با توزیع مکانی مناسب، ضروری به نظر می‌رسد. بهدلیل محدودیت در انجام دادن مشاهدات زمینی بخارآب در مقیاس‌های بزرگ و با تراکم زمانی و مکانی بالا و پرهزینه بودن این کار و با توسعه روش‌های سنجش از دور در دهه‌های اخیر، این ابزار قدرتمند برای تعیین بخارآب جو با دقت موردن قبول در ابعاد پیکسلی تصاویر سنجنده استفاده می‌شود (Román et al., 2015; Kern et al., 2008). البته باید به این موضوع توجه داشت که بهره‌حال دقت این بازیابی‌ها کمتر از اندازه‌گیری‌های ایستگاه‌های هواشناسی است (Zhao & Zhou, 2020).

بخارآب بازیابی شده ممکن است معایب دیگری، از جمله ناپیوستگی مکانی-زمانی و توان تفکیک مکانی^۷ اندک، داشته باشند (Li & Long, 2020).

برای تعیین مقدار بخارآب جو با استفاده از داده‌های ماهواره‌ای، روش‌های گوناگونی وجود دارد که از آن میان،

1. Spatial Resolution
2. Global Positioning System
3. Split Window
4. Variance Ratio
5. Regression Slope
6. Look Up Table
7. Sobrino
8. Band Ratio
9. Moderate Resolution Imaging Spectro-Radiometer

حاصل از مادیس اختلاف آماری معناداری وجود ندارد (Campos-Arias, 2019). در مطالعه‌ای دیگر، خانیانی^۴ و همکاران (۲۰۲۰) از مشاهدات ۳۸ ایستگاه GPS و همکاران، با هدف ارتقای دقت بخارآب به دست آمده از مادیس، استفاده کردند. این مطالعه با ارائه مدلی خطی توانست به ارتقای دقت بازیابی این پارامتر کمک کند. استفاده از سنجنده‌ای مانند MSG-SEVIRI^۵ نیز که توان تفکیک زمانی^۶ بسیار بالایی دارد، به منظور برآورد آنلاین میزان بخارآب جو، مورد توجه برخی محققان قرار گرفت و در پژوهشی، برای بازیابی میزان بخارآب جو در هر پانزده دقیقه، از تصاویر این سنجنده استفاده شد. ارزیابی نتایج بازیابی‌ها با استفاده از مشاهدات رادیوسوند تأیید کرد، صرف نظر از دقت کمتر این روش در قیاس با دیگر روش‌ها، می‌توان از آن در کارهای آنلاین بهره برد (Julien et al., 2015). اگرچه این تکنیک‌ها برای برآورد بخارآب ستونی جو معرفی و استفاده شدند، تحلیل‌های انجام شده در سال ۲۰۰۱ نشان داد بخارآب ستونی جو، در شرایطی که آسمان صاف است، همبستگی بسیاری (۰/۷۹) با بخارآب نزدیک به سطح جو دارد و می‌توان از این تکنیک‌ها برای برآورد بخارآب نزدیک به سطح نیز استفاده کرد (Schrijver et al., 2009).

با بررسی دقت روش‌های بازیابی بخارآب جو و تأیید معايب و محاسنی در هریک از آنها، در این تحقیق، از مدل‌های تجربی نوآرانه در تلفیق داده‌های دو سنجنده مادیس و AIRS^۷ با مشاهدات ایستگاه‌های زمینی استفاده شده است تا بخارآب نزدیک به سطح جو با دقت و توان تفکیک بالا برآورد شود.

1. Moradizadeh

2. Scientific Argentine Satellite (SAC-D/Aquarius)

3. Column Water Vapor

4. Khaniani

5. Generation-Spinning Enhanced Visible and Infrared Imager

6. Temporal Resolution

7. Atmospheric InfRared Sounder

بازیابی بخارآب جو، استفاده کردند. به دلیل نداشتن حساسیت یکسان باندهای جذب بخارآب به محتوای بخارآب جو، وزن‌های متفاوتی برای مقادیر بخارآب بازیابی شده با هریک از سه نسبت باندی در نظر گرفته شد (Sobrino, 2003). مرادیزاده^۱ و همکاران (۲۰۱۴)، به دلیل کمتر بودن حساسیت باند ۱۷ به محتوای بخارآب جو، از این باند در بازیابی بخارآب جو صرف نظر کردند. نتایج تحقیق آنها نشان داد که اگرچه دقت بازیابی میزان بخارآب جو با حذف باند ۱۷ تا حدی افزایش می‌یابد، مقدار آن شایان توجه نیست. در مناطق بدون پوشش گیاهی یا کم‌گیاه، استفاده از روش‌های مبتنی بر باندهای فروسرخ نزدیک و در مناطق دیگر، استفاده از روش‌های مبتنی بر باندهای حرارتی در بازیابی بخارآب جو عملکرد و دقت بهتری دارند (Fragkos et al., 2019).

رادیومترهای مایکروویو نیز از دیگر ابزار بازیابی محتوای بخارآب جو، به ویژه بر فراز اقیانوس‌ها، محسوب می‌شوند (Epeloa & Meza, 2018). به دلیل تغییرات شدید در ضریب گسیل مایکروویو، استفاده از داده‌های مایکروویو برای بازیابی بخارآب خشکی‌ها موسوم نیست اما در سال ۲۰۱۷، با استفاده از تصاویر سنجنده Aquarius^۸ و رویکردی آماری، محتوای بخارآب ستونی جو^۹ بر فراز خشکی برآورد شد. اگرچه این روش عملکرد مورد قبولی داشت، مشکل تعمیم‌ناپذیری آن به سایر آب‌وهواها باقی بود (Epeloa & Meza, 2018).

یکی دیگر از مهم‌ترین و رایج‌ترین ابزارهای اندازه‌گیری در محل، برای مشاهده بخارآب جو، GPS است (Gong et al., 2020). GPS می‌تواند مشاهدات دقیق بخارآب را با وضوح مکانی-زمانی بالا، ارائه دهد و این مشاهدات را می‌توان، به منزله داده‌های زمینی بخارآب برای اعتبارسنجی اندازه‌گیری‌های دیگر ماهواره‌ها، به کار برد (Xu & Liu, 2021). در سال ۲۰۱۹ مطالعه‌ای در منطقه کاستاریکا، برای ارزیابی دقت بازیابی بخارآب جو با استفاده از GPS، انجام شد که نشان داد بین میزان بخارآب برآورده شده با بخارآب

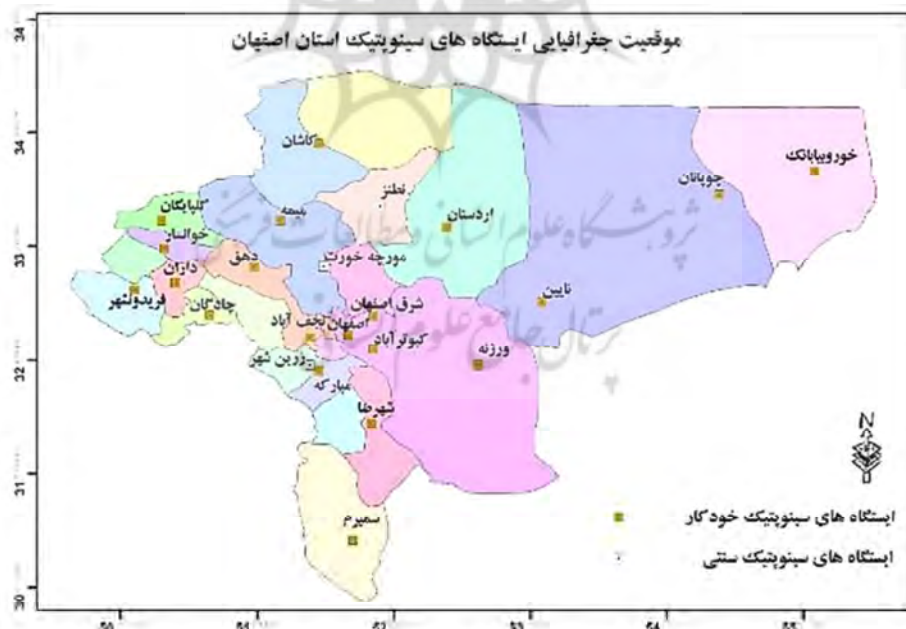
اصفهان ۱۶/۴ درجه سانتی گراد است. این میانگین، در سرددترین ماه سال (دی)، ۳ درجه و در گرمترین ماه سال (تیر)، ۲۹/۵ درجه سانتی گراد است. طبق آمار بلندمدت (۲۰۱۵-۱۹۵۱) میانگین ماهیانه بخارآب نسبی هوا، در ایستگاه اصفهان، ۳۸/۷٪، میانگین حداقل بخارآب نسبی تقریباً ۲۳٪ و میانگین حداکثر آن ۵۷/۶٪ است. طبیعی است که، در ماههای بارانی و سرد سال، میزان رطوبت نسبی کم و بیش بالا و برعکس، در ماههای گرم و خشک، میزان آن بسیار کم است.

۲-۲-دادههای مورد استفاده
دادههای به کاررفته در این مطالعه شامل میانگین فشار و میانگین فشار بخار ایستگاه (بر حسب میلی بار^۱) و همچنین دادههای تابشی باندهای ۱۹، ۱۸، ۱۷ و ۲ در محصول بخارآب جو سنجندههای مادیس و AIRS در بازه زمانی یک ساله، از ابتدای فروردین تا پایان اسفند سال ۱۳۹۹ و به صورت پانزده روز یکبار است.

۲- منطقه مورد مطالعه و دادهها

۲-۱- منطقه مطالعاتی

این مطالعه استان اصفهان به مرکزیت شهر اصفهان، واقع در مرکز ایران را دربرمی گیرد. این استان، با مساحتی حدود ۱۰۶۷۸۶ کیلومترمربع، بین ۳۰ درجه و ۴۲ دقیقه تا ۳۴ درجه و ۲۷ دقیقه عرض شمالی خط استوا و ۴۹ درجه و ۳۶ دقیقه تا ۵۵ درجه و ۳۱ دقیقه طول شرقی نصفالنهار گرینویچ قرار گرفته است (شکل ۱). استان اصفهان ششمین استان پهناور و با پنج میلیون نفر، سومین استان پرجمعیت است و رتبه نخست شهرنشینی را در کشور دارد. از نظر طبیعی، این استان به دشت کویر در شرق و شمال و رشته کوه زاگرس در غرب و جنوب محدود شده است؛ این موقعیت طبیعی باعث پدید آمدن سه نوع آب و هوای مدیترانه‌ای با زمستان‌های سرد، مدیترانه‌ای با زمستان‌های گرم و نیمه‌خشک با تابستان‌های گرم در استان شده است که در ذیل، به آنها اشاره می‌شود. میانگین دمای استان



شکل ۱. موقعیت جغرافیایی منطقه مطالعاتی، به همراه ایستگاه‌های هواشناسی (سینوپتیک) استان اصفهان

1. Millibar (mb)

محاسبه نسبت اختلاط^۱ بخارآب نزدیک به سطح جو، استفاده شده است.

$$MMR = \frac{e}{P - e} \quad (1)$$

در این رابطه، p فشار جو (mb) و e فشار بخارآب (mb) و مقادیر نسبت اختلاط بر حسب گرم بر کیلوگرم است (French et al., 2003). فشار بخارآب جزوی از فشار هواست که از بخارآب جو ناشی می‌شود و از میزان بخارآب در هوا تأثیر مستقیم می‌پذیرد. نسبت اختلاط بخارآب نیز جرم بخارآب جو در حجم معینی از هوا، به جرم هوای خشک موجود در آن حجم هوا، در نظر گرفته می‌شود. در جدول ۱، مشخصات ایستگاه‌های هوشناسی سینوپتیک استان گزارش شده است.

۲-۱-۲- داده‌های ایستگاه‌های زمینی هوشناسی

ایستگاه‌های سینوپتیک هوشناسی ایستگاه‌هایی اند که در سراسر دنیا، همزمان، براساس ضوابط و مقررات سازمان جهانی هوشناسی، به طور ۲۴ ساعته موظف به اندازه‌گیری و تهیه پارامترهای جویی و ارسال آنها در شبکه مخابراتی اند و بر حسب موارد استفاده، انواع گوناگونی دارند. در ۲۳ ایستگاه سینوپتیک استان اصفهان، آمار دمای هوا، بارندگی، رطوبت نسبی، فشار هوا، تبخیر، فشار بخار و سایر متغیرهای هوشناسی به صورت سه ساعته اندازه‌گیری می‌شود. در این پژوهش، مطابق رابطه (۱)، از فشار میانگین ایستگاه‌ها (بر حسب mb) و میانگین فشار بخارآب (بر حسب mb) اندازه‌گیری شده در این ایستگاه‌ها، به منظور

جدول ۱. مشخصات ایستگاه‌های هوشناسی سینوپتیک

نام ایستگاه	نوع ایستگاه	سال تأسیس	ارتفاع (متر)	موقعیت جغرافیایی
اردستان	سینوپتیک خودکار	۱۳۷۰	۱۲۵۶	$\varphi = 33^{\circ} 21' 20'', \lambda = 52^{\circ} 22' 32''$
اصفهان	سینوپتیک خودکار، أَنْسِنْجِي، جَوَّ بَالَا	۱۳۳۰	۱۵۵۰	$\varphi = 32^{\circ} 31' 04'', \lambda = 51^{\circ} 42' 24''$
اصفهان (شرق)	سینوپتیک فروندگاهی	۱۳۵۵	۱۵۵۲	$\varphi = 32^{\circ} 44' 39'', \lambda = 51^{\circ} 51' 47''$
چادگان	سینوپتیک خودکار	۱۳۹۴	۲۱۷۵	$\varphi = 32^{\circ} 45' 25'', \lambda = 50^{\circ} 39' 02''$
چوبانان	سینوپتیک تمام‌خودکار	۱۳۸۵	۸۹۶	$\varphi = 33^{\circ} 36' 40'', \lambda = 54^{\circ} 22' 42''$
خوانسار	سینوپتیک خودکار	۱۳۸۳	۲۳۰۰	$\varphi = 33^{\circ} 12' 32'', \lambda = 50^{\circ} 19' 19''$
خور و بیانک	سینوپتیک خودکار	۱۳۶۴	۸۴۲	$\varphi = 33^{\circ} 46' 11'', \lambda = 55^{\circ} 04' 53''$
داران	سینوپتیک	۱۳۶۷	۲۲۹۰	$\varphi = 32^{\circ} 59' 15'', \lambda = 50^{\circ} 24' 22''$
زرین شهر	سینوپتیک خودکار	۱۳۸۳	۱۷۱۴	$\varphi = 32^{\circ} 23' 58'', \lambda = 51^{\circ} 22' 41''$
سمیرم	سینوپتیک خودکار	۱۳۷۹	۲۴۶۰	$\varphi = 31^{\circ} 25' 03'', \lambda = 51^{\circ} 32' 55''$
شهرضا	سینوپتیک خودکار	۱۳۷۱	۱۸۵۸	$\varphi = 31^{\circ} 58' 53'', \lambda = 51^{\circ} 48' 36''$
فریدون شهر	سینوپتیک خودکار	۱۳۸۲	۲۴۹۰	$\varphi = 32^{\circ} 56' 23'', \lambda = 50^{\circ} 07' 37''$
کاشان	سینوپتیک خودکار	۱۳۴۵	۹۵۵	$\varphi = 33^{\circ} 58' 01'', \lambda = 51^{\circ} 28' 51''$
کبوترآباد	سینوپتیک خودکار تحقیقات کشاورزی	۱۳۶۴	۱۵۴۳	$\varphi = 32^{\circ} 30' 51'', \lambda = 51^{\circ} 50' 00''$
گلپایگان	سینوپتیک خودکار	۱۳۷۰	۱۸۷۰	$\varphi = 33^{\circ} 28' 36'', \lambda = 50^{\circ} 15' 40''$
مبارکه	سینوپتیک خودکار	۱۳۸۶	۱۶۸۰	$\varphi = 32^{\circ} 21' 32'', \lambda = 51^{\circ} 27' 05''$
مورچه خورت	سینوپتیک تمام‌خودکار	۱۳۷۸	۱۶۷۳	$\varphi = 33^{\circ} 04' 44'', \lambda = 51^{\circ} 28' 50''$
نائین	سینوپتیک خودکار	۱۳۷۰	۱۵۷۴	$\varphi = 32^{\circ} 51' 06'', \lambda = 53^{\circ} 04' 43''$

1. Mass Mixing Ratio

ادامه جدول ۱

نام ایستگاه	نوع ایستگاه	سال تأسیس	ارتفاع (متر)	موقعیت جغرافیایی
نجف آباد	سینوپتیک خودکار تحقیقات کشاورزی	۱۳۷۶	۱۶۳۶	$\varphi = 32^{\circ}36'16'', \lambda = 51^{\circ}23'17''$
نظرن	سینوپتیک خودکار	۱۳۷۰	۱۶۸۵	$\varphi = 33^{\circ}29'24'', \lambda = 51^{\circ}55'51''$
ورزنه	سینوپتیک خودکار	۱۳۸۴	۱۴۵۰	$\varphi = 32^{\circ}25'58'', \lambda = 52^{\circ}39'17''$
دهق	سینوپتیک تکمیلی تمام خودکار	۱۳۹۰	۱۹۶۰	$\varphi = 33^{\circ}05'50'', \lambda = 50^{\circ}58'30''$
میمه	سینوپتیک	۱۳۷۷	۱۹۸۰	$\varphi = 33^{\circ}27'07'', \lambda = 51^{\circ}10'31''$

۲-۲-۲- داده‌های سنجنده مادیس

۲۳۷۸ کanal فروسرخ و ۴ کanal مرئی / فروسرخ نزدیک دارد که در محدوده $0^{\circ}/4^{\circ}$ تا $10^{\circ}/37^{\circ}$ میکرومتر قرار دارند. توان تفکیک مکانی و زمانی $15^{\circ}/4$ میکرومتر قرار دارد. این تفکیک مکانی و زمانی آن، به ترتیب، چندده کیلومتر و دوازده ساعته است. محصولات اتمسفری گوناگون این سنجنده نسبتاً دقیق، در دسترس، با پوشش جهانی و رایگان است. محصول بخارآب نزدیک به سطح جو که در این پژوهش به کار رفته، با کد مشخصه AIRS2RET، دارای توان تفکیک مکانی چهل کیلومتر است.

سنجنده مادیس روی دو سکوی ترا^۱ و آکوا^۲، به ترتیب در سال‌های ۱۹۹۹ و ۲۰۰۲ میلادی، از سوی ناسا به فضا پرتاب شد. این سنجنده، با ۳۶ باند طیفی در محدوده امواج مرئی و فروسرخ، توان تفکیک مکانی متوسط هزار متر و توان تفکیک زمانی دوازده ساعت، در قیاس با دیگر سنجنده‌ها در موقعیت ممتازی قرار دارد (Wan et al., 2002). در این مطالعه، از داده‌های تابشی روزانه باندهای ۱۹، ۱۸، ۱۷، ۲ با توان تفکیک هزار متر استفاده شده است.

۳- روش‌های برآورده نسبت اختلاط بخارآب نزدیک به سطح جو
بازیابی محتوای بخارآب نزدیک به سطح جو، با دقت و توان تفکیک مکانی مناسب، اهمیت بسیار چشمگیری دارد و از این‌رو در این تحقیق، به منظور برآورده نسبت اختلاط بخارآب نزدیک به سطح با توان تفکیک مکانی ۱ کیلومتر و دقت مناسب، چهار روش براساس داده‌های ماهواره‌ای گوناگون مطرح شده است. سنجنده‌های متفاوت توانایی اندازه‌گیری بخارآب را با توان تفکیک‌های مکانی و حساسیت‌های متفاوت به این

۲-۲-۲-۱- داده‌های بخارآب ستونی جو مادیس
محصول ماهواره‌ای بخارآب ستونی مورد استفاده در این مطالعه با کد مشخصه L2 MYD05 از ماهواره آکوا، با توان تفکیک مکانی یک کیلومتر و توان تفکیک زمانی روزانه و حاوی اطلاعات روزانه بخارآب ستونی جو به دست آمده است. این محصول از باندهای فروسرخ نزدیک ۱۷، ۱۸، ۱۹ (باندهای جذب بخارآب) و باندهای ۲ و ۵ (باندهای غیرجذب مربوط به پنجره جوی)، با استفاده از الگوریتم نسبت باندها، به دست می‌آید.

۲-۲-۳- داده‌های سنجنده AIRS

سنجنده AIRS روی سکوی آکوا، در سال ۲۰۰۲ میلادی، از سوی ناسا به فضا پرتاب شد. این سنجنده

1. Terra
2. Aqua

روش درون‌بایی IDW

در این روش (وزن دهنی براساس معکوس فاصله)، فرض بر این است که نقاط نزدیک‌تر به نقطهٔ مجھول تأثیر بیشتری در برآورد در نقطهٔ مجھول دارند و در محاسبات، در قیاس با نقاط دورتر، وزن بیشتری می‌گیرند. در این روش از معکوس فاصله به منزله وزن نقاط معلوم، در پیش‌بینی مقادیر در نقاط مجھول، استفاده می‌شود. دلیل انتخاب این روش سادگی، فهم آسان و نتایج موردن قبول آن است (Khouni et al., 2018). برای درون‌بایی و برآورد پارامتر هدف در نقطهٔ مجھول، با استفاده از نقاط معلوم، از رابطه (۲) استفاده می‌شود.

$$\hat{Z}(S_0) = \sum_{i=1}^N \lambda_i Z(S_i) \quad (2)$$

در این رابطه، $Z(S_i)$ مقادیر اندازه‌گیری شده در موقعیت‌های معلوم و λ_i وزن مقدار اندازه‌گیری شده در موقعیت معلوم است که براساس فاصله تعیین می‌شود. همچنین S_0 موقعیت مجھول و N تعداد نقاط معلوم استفاده شده در تعیین مقدار در موقعیت مجھول است.

۳-۱- بازیابی بخارآب نزدیک به سطح با روش نسبت باندی و داده‌های مادیس

در این روش، با استفاده از داده‌های سنجندهٔ مادیس و مشاهدات بخارآب نزدیک به سطح ایستگاه‌های زمینی، با روش نسبت باندی، بخارآب نزدیک به سطح با توان تفکیک ۱ کیلومتر برآورد می‌شود. به‌منظور اجرای این الگوریتم، از داده‌های باندی 17 و 18 و 19 و 2 سنجندهٔ مادیس، همچنین از داده‌های ایستگاه‌های هواشناسی استفاده می‌شود. برای همزمانی دو مجموعه داده، داده‌های هواشناسی در نزدیک‌ترین ساعت به زمان عبور ماهواره انتخاب می‌شوند. داده‌های ایستگاه‌های هواشناسی برای کالیبره کردن و اعتبارسنجی الگوریتم به کار می‌روند. نتایج مطالعه دیگری در سال 2002 نشان داد که بخارآب نزدیک به

پارامتر، دارا هستند. ازین‌رو بیان روش‌هایی مبتنی بر استفاده و تلفیق هم‌زمان داده‌های سنجنده‌ها و مشاهدات ایستگاه‌های زمینی، به‌منظور ارتقای هم‌زمان توان تفکیک مکانی و دقت بازیابی بخارآب نزدیک به سطح جو ضروری است. در این تحقیق، از تلفیق تصاویر ماهواره‌ای مادیس و AIRS و مشاهدات ایستگاه‌های زمینی استفاده شده است. همچنین روش نسبت باندی، درون‌بایی IDW^1 و هم‌مقیاس‌سازی داده‌ها، همراه با روش‌های پیشنهادی، به کار رفته است.

روش نسبت باندی

این روش که سوبرینو و همکاران (۲۰۰۳) مطرح کردند، از نسبت رادیانس در باندی‌های جذب به باندی‌های غیرجذب بخارآب، به‌منظور برآورد دقیق‌تر محتوای بخارآب جو، بهره می‌برد. از آنجاکه میزان عبور از جو به مقدار بخارآب آن بستگی دارد، این نسبت مناسب با میزان بخارآب جو است و در برای نویز ناشی از خطاهای آماری باندی، تغییرات ترکیبات دیگر جو و تغییرات ویژگی‌های سطح، حساسیت اندکی دارد (Schrijver et al., 2009) در سنجندهٔ مادیس، باندی 17 و 18 و 19 در محدوده طول‌موجی جذب و باند 2 در محدوده غیرجذبی بخارآب قرار دارد.

هم‌مقیاس‌سازی داده‌ها

داده‌های سنجنده‌های گوناگون دارای توان تفکیک مکانی یکسان نیستند و ماهیت اساسی داده‌های ماهواره‌ای نیز با مشاهدات ایستگاه‌های زمینی، که اغلب به‌منظور کالیبراسیون و اعتبارسنجی نتایج برآوردهای الگوریتم‌ها به کار می‌روند، متفاوت است؛ ازین‌رو هم‌مقیاس‌سازی داده‌ها ضروری به نظر می‌رسد. در این تحقیق، از روشی ساده و ابتکاری برای هم‌مقیاس‌سازی و درنهاست، ارزیابی دقت و تصحیح خطای اربی‌ی محصولات بخارآب نزدیک به سطح سنجندهٔ AIRS، استفاده شده و در بخش ۲-۳ به آن پرداخته می‌شود.

1. Inverse Distance Weighting

مقدار رادیانس سنجنده مادیس برای باندهای اشاره شده و وزن هریک از باندهای سه گانه (f_j) را داشته باشیم. وزن هریک از نسبت‌های باندی (f_j) براساس حساسیت آنها به محتوای بخارآب جو تعیین می‌شود. جدول ۳ وزن هریک از نسبت‌های باندی را نشان می‌دهد که مطابق با تحقیقات قبلی، سهم باند ۱۸ در برآورد بخارآب بیشتر در نظر گرفته شده است (Moradizadeh et al., 2014).

۳-۲- بازیابی بخارآب نزدیک به سطح، با ترکیب داده‌های ماهواره‌ای و مشاهدات ایستگاه‌های هواشناسی در این روش، با علم به اینکه مشاهدات ایستگاه‌های هواشناسی دقیق، ولی به صورت نقطه‌ای و پراکنده‌اند و از سوی دیگر داده‌های ماهواره‌ای، به رغم دقت کمتر، در برآورد پارامترها دارای توان تفکیک مناسب و سطحی و پیوسته‌اند، با روشی توآورانه از مزایای هر دو سری داده به‌طور همزمان استفاده می‌شود. در این مرحله، ابتدا مشاهدات بخارآب نزدیک به سطح ایستگاه‌های زمینی، رابطه (۵) روش درون‌یابی معکوس فاصله، به داده‌های بخارآب با روش درون‌یابی معمکن است. میزان این خطا، سطحی یک کیلومتری تبدیل می‌شود. میزان این خطا، بنابر روش درون‌یابی و تراکم نقاط، متغیر است اما در هر حال خطای درخور ملاحظه‌ای است. سپس با استفاده از روش پیشنهادی و مقادیر نسبت اختلاط بخارآب برآورده شده با روش نسبت باندی، خطای درون‌یابی در هر پیکسل حذف می‌شود. به عبارت دیگر این روش، با داشتن قابلیت تخمین خطای درون‌یابی در

سطح و بخارآب ستونی نهایی جو با یکدیگر همبستگی فراوانی دارند (Wan et al., 2002). بنابراین، این روش که در ابتدا برای برآورد بخارآب ستونی جو ارائه شده است، برای تعیین بخارآب نزدیک به سطح جو نیز با افت دقت بسیار اندکی کاربرد دارد (Kaufman & Gao, 1992).

با استفاده از روابط (۳)، نسبت رادیانس باندهای جذب به باند غیرجذب محاسبه می‌شود. روابط غیرخطی (۴) نسبت‌های باندی را به بخارآب تبدیل می‌کنند. در نهایت، با استفاده از رابطه (۵)، از ترکیب مقادیر سه باند جذب، بخارآب نزدیک به سطح محاسبه می‌شود.

$$R_{17} = \frac{L_{17}}{L}^2 \quad R_{18} = \frac{L_{18}}{L}^2 \quad R_{19} = \frac{L_{19}}{L}^2 \quad \text{رابطه (۳)}$$

$$W_{17} = a_1 + b_1 R_{17} + c_1 R_{17}^2$$

$$W_{18} = a_1 + b_1 R_{18} + c_1 R_{18}^2$$

$$W_{19} = a_3 + b_3 R_{19} + c_3 R_{19}^2$$

$$MMR = f_{17}W_{17} + f_{18}W_{18} + f_{19}W_{19}$$

در این روابط، R مقدار رادیانس سنجنده مادیس برای باندهای اشاره شده و f_j وزن باند مورد نظر است. ضرایب $a_3 \dots a_1$ و $b_3 \dots b_1$ و $c_3 \dots c_1$ نیز ضرایب ثابت‌اند که مطابق جدول ۲ تعیین می‌شود. برای محاسبه ضرایب این معادله، با استفاده از روش کمترین مربعات خطای لازم است مقدار نسبت اختلاط بخارآب نزدیک به سطح جو محاسبه شده در محل ایستگاه‌ها،

جدول ۲. ضرایب نسبت باندها

a_1	b_1	c_1	a_2	b_2	c_2	a_3	b_3	c_3
۲/۳۷	-۴۴/۲۸۸	۴۴/۱۸۲	۶۴/۳۳	-۳۱۹/۸۱	۴۲۶/۹۲	۶۰/۰۷۰	۸۴۹/۲۶	-۸۵۷/۰۹

جدول ۳. وزن نسبت‌های باندی سه گانه

f_{17}	f_{18}	f_{19}
۰/۱۴۱	۰/۴۴۴	۰/۴۱۵

۳-۳-۳- ارتقای توان تفکیک محصول بخارآب سنجدۀ AIRS به یک کیلومتر، با تلفیق داده‌های مادیس در این روش به منظور بازیابی نسبت اختلاط بخارآب نزدیک به سطح جو با توان تفکیک یک کیلومتر و دقت مناسب، شبیه به عملیات مرحلۀ دوم، محصول بخارآب نزدیک به سطح سنجدۀ AIRS، داده‌های سنجدۀ مادیس و مشاهدات ایستگاه‌های زمینی به صورت هم‌زمان، برای ارتقای توان تفکیک مکانی محصول بخارآب نزدیک به سطح سنجدۀ AIRS، استفاده می‌شود. در این مرحله نیز از نسبت بخارآب نزدیک به سطح بازیابی شده از داده‌های سنجدۀ مادیس طی روش نسبت باندی (روش اول) به منظور حذف خطای درون‌یابی استفاده می‌شود؛ با این تفاوت که به جای مشاهدات ایستگاه‌های هواشناسی زمینی، از محصول سنجدۀ AIRS استفاده می‌شود. از آنجاکه محصول نسبت اختلاط بخارآب نزدیک به سطح سنجدۀ AIRS دارای خطأ و اریبی است، پیش از انجام دادن مراحل یادشده با اعتبارسنجی محصولات این سنجدنه، خطای اریبی محصول بخارآب نزدیک به سطح سنجدۀ AIRS باید طی مرحلۀ هم‌مقیاس‌سازی حذف شود.

۳-۳-۱- روش هم‌مقیاس‌سازی در ارزیابی دقت محصولات بخارآب نزدیک به سطح سنجدۀ AIRS و تعیین اریبی

برای این کار باید محصول بخارآب سنجدۀ AIRS، با مشاهدات بخارآب نزدیک به سطح اندازه‌گیری شده در ایستگاه‌های هواشناسی بهمنزلۀ داده‌های مرجع زمینی، مقایسه شود. این در حالی است که اندازه‌گیری‌ها در ایستگاه‌های هواشناسی به صورت نقطه‌ای و داده‌های سنجدنه به صورت سطحی و در بعد پیکسل‌های آن $40\text{ km}^*40\text{ km}$ است.

بنابراین، به دلیل تفاوت اساسی در ماهیت دو نوع داده و اختلاف مقیاس زیاد بین آنها، لازم است مشاهدات مرجع زمینی با کمترین خطأ به صورت سطحی و با توان تفکیک مکانی سنجدنه AIRS ارائه

فاضله‌های بین ایستگاه‌های هواشناسی و تصحیح آن، امکان بهره‌مندی از مشاهدات بسیار دقیق این ایستگاه‌ها را با تراکم مناسب ایجاد می‌کند. به این ترتیب، ضمن دست‌یابی به مقادیر بخارآب در توان تفکیک مناسب، دقت نیز تا حد امکان ارتقا یافته است. این روش و حصول نتیجه مطلوب طی پنج مرحله انجام می‌شود.

مرحلۀ اول: در این مرحله، ۶۶٪ از مشاهدات نسبت اختلاط بخارآب نزدیک به سطح جو در ایستگاه‌های هواشناسی که به صورت نقطه‌ای اند، با روش درون‌یابی IDW به داده‌های سطحی یک کیلومتری تبدیل می‌شوند. ۳۳٪ باقی مانده به منظور اعتبارسنجی استفاده خواهند شد. مقادیر درون‌یابی شده قطعاً خطای درون‌یابی دارند و در مراحل بعدی، برای حذف خطاهای درون‌یابی با استفاده از داده‌های سنجدنه مادیس، روشی ابتکاری مطرح می‌شود.

مرحلۀ دوم: مقادیر نسبت اختلاط بخارآب نزدیک به سطح حاصل از اجرای روش نسبت باندی روی داده‌های سنجدنه مادیس با توان تفکیک یک کیلومتر، در پیکسل‌های متناظر با موقعیت ایستگاه‌های هواشناسی استخراج می‌شود.

مرحلۀ سوم: باز دیگر مقادیر نسبت اختلاط بخارآب حاصل از روش نسبت باندی سنجدنه مادیس در محل ایستگاه‌های مرحلۀ اول، با روش درون‌یابی IDW، به داده‌های سطحی یک کیلومتری تبدیل می‌شود. این مقادیر هم قطعاً دارای خطای درون‌یابی است.

مرحلۀ چهارم: برای محاسبه خطای درون‌یابی در هر پیکسل، داده‌های مرحلۀ دوم و سوم را مقایسه و خطای درون‌یابی روش IDW را محاسبه می‌کنیم.

مرحلۀ پنجم: پس از محاسبه خطای درون‌یابی در هر پیکسل یک کیلومتری، این مقدار خطأ به داده‌های مرحلۀ اول اعمال می‌شود. به این ترتیب، داده‌های سطحی یک کیلومتری بخارآب نزدیک به سطح با دقت داده‌های هواشناسی و بدون خطای درون‌یابی به دست می‌آید.

۳-۴- برآورد بخارآب نزدیک به سطح جو با استفاده از محصول بخارآب جو سنجنده مادیس
 به رغم دسترسی آسان و توان تفکیک مناسب محصولات CWV بخارآب سنجنده مادیس، این محصولات محتوای CWV را با واحد سانتی‌متر در اختیار کاربران قرار می‌دهند. این در حالی است که پارامتر بازیابی شده، در این پژوهش، نسبت اختلاط بخارآب نزدیک به سطح جو با واحد $\frac{g}{kg}$ است. درنتیجه، لازم است دو مجموعه داده هم‌واحد شوند و بهشیوه‌ای معادل‌سازی شوند. شایان ذکر است که این معادل‌سازی با فرض وجود همبستگی بالا بین رطوبت سنتونی و رطوبت نزدیک به سطح جو انجام می‌شود. بهمنظور تعیین نوع رابطه (خطی یا غیرخطی) بین این دو مجموعه داده، توزیع ۶۶٪ مشاهدات بخارآب نزدیک به سطح ایستگاه‌های زمینی نسبت به این محصولات در فضای دوربعدی ترسیم شد؛ مطابق شکل‌های ۲ و ۳،تابع نمایی ($MMR = 3.2966e^{0.1986CWV}$) بهترین برازش با بیشترین همبستگی را نشان می‌دهد.

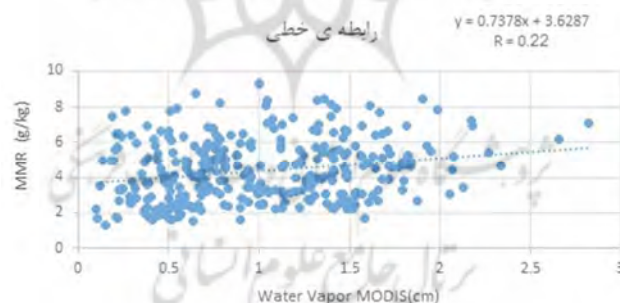
شوند. در این تحقیق، طی روشهای نوآورانه، از داده‌های سنجنده مادیس (۱ km*1 km) بهمنزله واسطه‌ای برای سطحی کردن اندازه‌گیری‌های زمینی استفاده می‌شود. به این ترتیب، مقادیر نسبت اختلاط بخارآب نزدیک به سطح سنجنده مادیس، با استفاده از روش نسبت باندی در توان تفکیک یک کیلومتر، محاسبه می‌شود و بهمنظور اعتبارسنجی محصول بخارآب سنجنده AIRS از 40×40 پیکسل آن میانگین گیری می‌شود.

با مقایسه این دو برآورد از میزان نسبت اختلاط بخارآب نزدیک به سطح در توان تفکیک سنجنده AIRS، دقت و اربیتی محصولات بخارآب این سنجنده مطابق جدول ۴ تعیین می‌شود.

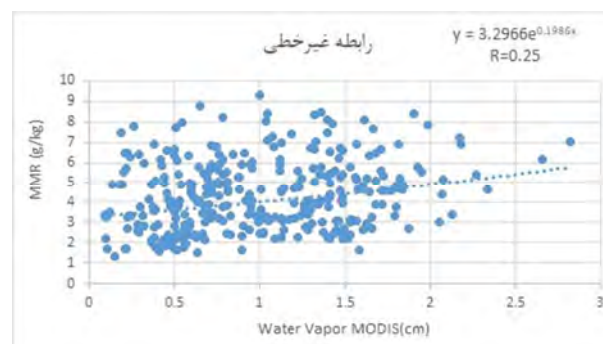
شایان ذکر است که برای کاهش خطای نبود انطباق زمانی بین مشاهدات زمینی و ماهواره‌ای، از مشاهدات ایستگاه‌های هواشناسی در ساعتی استفاده می‌شود که کمترین اختلاف را با زمان عبور سنجنده داشته باشد.

جدول ۴. نتایج اعتبارسنجی محصول بخارآب سنجنده AIRS

Bias	R ²	MAE	RMSE
-۰/۱۹۳	۰/۲۴	۱/۰۵	۱/۳۲



شکل ۲. رابطه خطی بین داده‌های بخارآب ایستگاه‌های هواشناسی و محصول بخارآب داده‌های مادیس



شکل ۳. رابطه غیرخطی بین داده‌های بخارآب ایستگاه‌های هواشناسی و محصول بخارآب داده‌های مادیس

خطا (RMSE=1.1 Gr/Kr) عملکرد بهتری در بازیابی بخارآب نزدیک به سطح، با توان تفکیک یک کیلومتر، دارد. علت آن به کار بردن مشاهدات دقیق بخارآب نزدیک به سطح از ایستگاه‌های زمینی و تلفیق آنها با داده‌های سطحی سنجنده مادیس در تخمین بخارآب نزدیک به سطح جو و درنهایت، حذف خطای درون‌یابی است.

همچنین روش چهارم که از محصول سنجنده مادیس در بازیابی نسبت اختلاط بخارآب نزدیک به سطح جو استفاده می‌کند، دقتی کمتر از دیگر روش‌ها دارد و دلیل اصلی آن ماهیت متفاوت محصول سنجنده مادیس با پارامتر بازیابی شده است. شکل‌های ۴ تا ۷ میزان اختلاف متوسط بخارآب اندازه‌گیری شده جو را که با استفاده از چهار روش محاسبه شده است، در کل بازه برای هر ایستگاه نشان می‌دهند.

مطابق نمودار شکل ۴، الگوریتم نسبت باندی در همه نقاط متناظر با مکان ایستگاه‌های متفاوت، عملکرد تقریباً یکسانی نشان می‌دهد. همچنین اختلاف این دو مقدار مشخص می‌کند که مقادیر برآوردشده با روش نسبت باندی، در مقایسه با مقادیر زمینی، همواره اندکی بیشتر است. نمودار توزیع مقادیر برآورده بخارآب نزدیک به سطح با روش دوم بهتر لذتمنزله دقیق‌ترین روش، در مقایسه با مقادیر مشاهداتی زمینی بخارآب نزدیک به سطح جو، در شکل ۸ نشان داده شده است.

۴- اجرا، نتایج و بحث

به منظور مدل‌سازی و اعتبارسنجی برآورد بخارآب نزدیک به سطح جو در توان تفکیک یک کیلومتر، با استفاده از چهار روش اشاره شده، $66/3\%$ داده‌ها به صورت تصادفی برای آموزش و $33/7\%$ مابقی به منظور ارزیابی دقت و اعتبارسنجی نتایج به کار رفته است. درنهایت نیز نتایج اجرای روش‌ها با یکدیگر مقایسه شد. در این تحقیق ضریب تعیین (R^2)^۱ و جذر میانگین مربعات خطاهای (RMSE)^۲ ملاک ارزیابی دقت و عملکرد مدل‌سازی قرار گرفته‌اند. جدول ۵ نتایج اعتبارسنجی و دقت روش‌های مطرح شده در این تحقیق، به منظور بازیابی نسبت اختلاط بخارآب نزدیک به سطح با توان تفکیک یک کیلومتر را نشان می‌دهد.

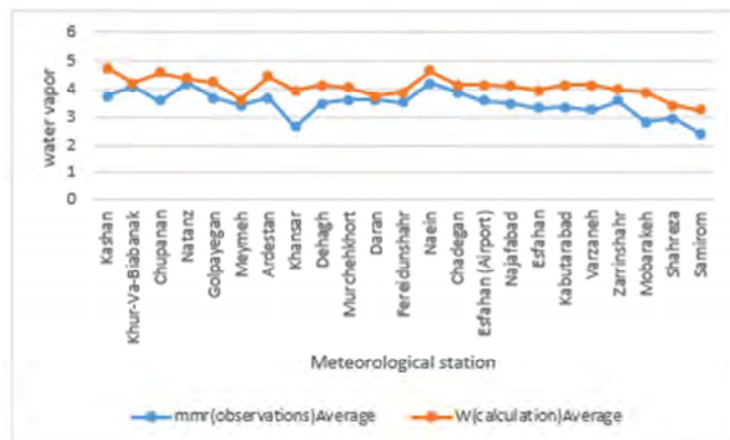
مقایسه اعتبارسنجی روش‌های گوناگون حاکی از آن است که براساس معیار R^2 ، استفاده از روش نسبت باندی روی داده‌های سنجنده مادیس (روش اول) و همچنین براساس معیار RMSE، تلفیق داده‌های بخارآب بازیابی شده از طریق روش اول با مشاهداتی ایستگاهی، به منظور حذف خطای درون‌یابی (روش دوم)، بهترین عملکرد را در بازیابی پارامتر هدف داشته‌اند. به طور کلی نتایج نشان داد که روش دوم، با ضریب تعیین ($R^2=0.546$) و جذر میانگین مربعات

جدول ۵. نتایج اعتبارسنجی روش‌های مطرح شده

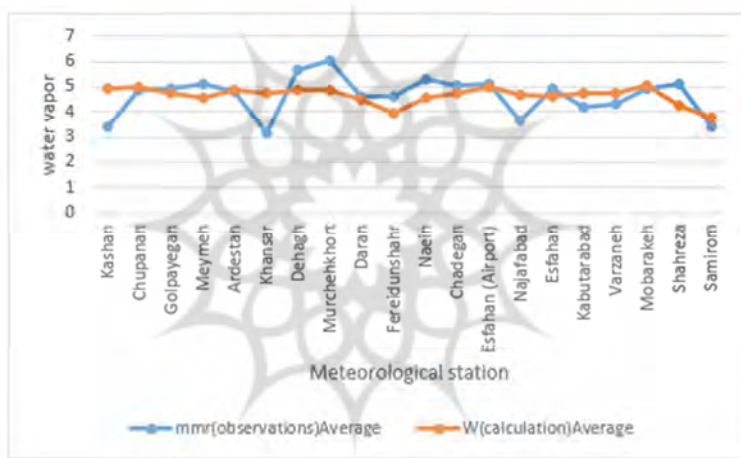
روش برآورده	روش برآورد	داده‌ها	توان تفکیک	R^2	RMSE
روش اول: نسبت باندی	روش اول: نسبت باندی	داده‌های هواشناسی و داده‌های سنجنده مادیس	۱ کیلومتر	۰/۶۴	۱/۲۵
روش دوم: حذف خطای درون‌یابی	روش دوم: حذف خطای درون‌یابی	داده‌های هواشناسی و داده‌های سنجنده	۱ کیلومتر	۰/۵۵	۱/۰۵
روش سوم: حذف اریبی محصول AIRS، با روش هم‌مقیاس‌سازی و حذف خطای درون‌یابی	روش سوم: حذف اریبی محصول AIRS، با روش هم‌مقیاس‌سازی و حذف خطای درون‌یابی	محصول بخارآب سنجنده AIRS، داده‌های هواشناسی سنجنده مادیس و داده‌های هواشناسی	۱ کیلومتر	۰/۵۶	۱/۲۱
روش چهارم: محصول مادیس	روش چهارم: محصول مادیس	محصول بخارآب مادیس و داده‌های هواشناسی	۱ کیلومتر	۰/۵۴	۱/۲۷

1. R Squared (R^2)

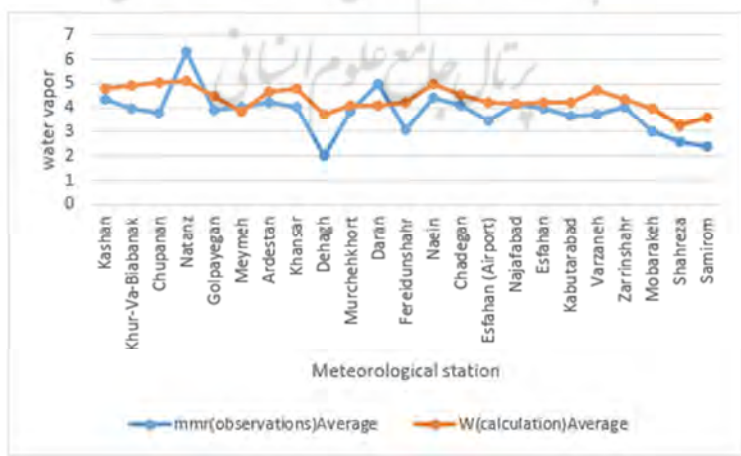
2. Root Mean Square Error (RMSE)



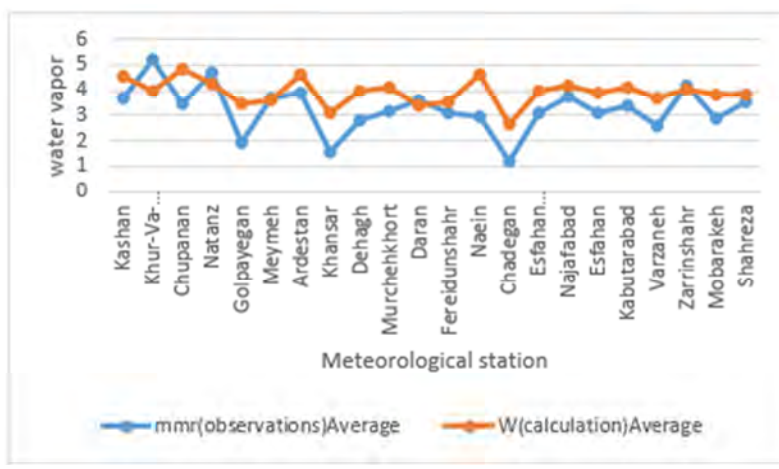
شکل ۴. نمودار اختلاف بخار آب اندازه گیری و محاسبه شده با روش نسبت باندی (روش اول) در هر ایستگاه



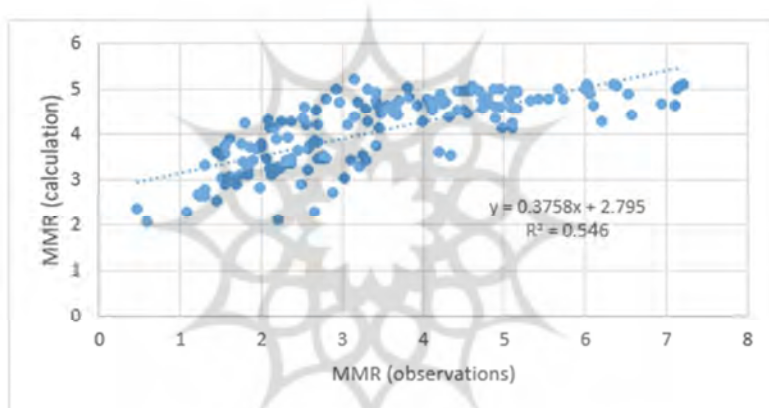
شکل ۵. نمودار اختلاف بخار آب اندازه گیری و محاسبه شده با روش حذف خطای درون یابی مشاهدات هواشناسی (روش دوم) در هر ایستگاه



شکل ۶. نمودار اختلاف بخار آب اندازه گیری و محاسبه شده با روش حذف اریبی و خطای درون یابی محصول سنجنده AIRS (روش سوم) در هر ایستگاه



شکل ۷. نمودار اختلاف بخارآب اندازه‌گیری و محاسبه شده با محصول بخارآب جو براساس داده‌های مادیس (روش چهارم) در هر ایستگاه



شکل ۸. توزیع مقادیر برآورد بخارآب نزدیک به سطح با روش حذف خطای درون‌بازی مشاهدات هواشناسی (روش دوم)، در مقایسه با مشاهداتی زمینی

خطای نسبتاً پایین، در مقایسه با تحقیقات دیگر، حاکی از توانایی این شیوه‌ها در پیش‌بینی میزان بخارآب جو است (Moradizadeh et al., 2014).

۵- نتیجه‌گیری
با توجه به اهمیت بخارآب جو و تأثیر آن در فعل و افعالات بین سطح و جو و کاربردهای این پارامتر در زمینه‌های گوناگونی مانند کشاورزی، هواشناسی و اکولوژیکی و همچنین لزوم ورود مقدار عددی این پارامتر در بسیاری از الگوریتم‌های سنجش از دوری، بازیابی این پارامتر با دقت و توان تفکیک مکانی بالا

تفاوت دمای هوا و وجود اقلیم‌های گوناگون، در استان اصفهان، دلیل متفاوت بودن توزیع زمانی و مکانی بخارآب جو است. شایان ذکر است که علاوه بر محدودیت‌ها و مشکلاتی مانند نبود همسانی زمانی و مکانی و ماهیتی داده‌ها، اندازه‌گیری نشدن بخارآب جو طی برخی روزهای سال در ایستگاه‌های هواشناسی و همچنین وجود داده‌های غیرکاربردی در تصاویر ماهواره‌ای از دیگر محدودیت‌ها و عوامل ایجاد خطا در این روش‌ها بود. اما نتایج اعتبارسازی بازیابی بخارآب نزدیک به سطح با روش‌های مدل‌سازی مطرح شده، با ضریب همبستگی مورد قبول و جذر میانگین مربعات

محاسباتی در تعیین ضرایب روش نسبت باندها، پیشنهاد می‌شود از روش‌های مبتنی بر یادگیری ماشین در تعیین ضرایب استفاده شود.

۶- منابع

- Alizadeh Rabiee, H., 2017, **Remote Sensing (Principles and Application)**, Samt Organisation, 978-600-02-2449-3.
- Bevis, M., Businger, S., Herring, T.A., Rocken, C., Anthes, R.A. & Ware, R.H., 1992, **GPS Meteorology: Remote Sensing of Atmospheric Water Vapor Using the Global Positioning System**, J. Geophys. Res. Atmos., 97(D14), PP. 15787-1580, <https://doi.org/10.1029/92JD01517>.
- Campos-Ariaa, P., Esquivel-Hernández, G., Valverde-Calderón, J.F., Valverde Calderón, S., Moya-Zamora, J., Sánchez-Murillo, R. & Boll, J., 2019, **GPS Precipitable Water Vapor Estimations over Costa Rica: A Comparison against Atmospheric Sounding and Moderate Resolution Imaging Spectrometer (MODIS)**, Clim., 7(63), <https://doi.org/10.3390/cli7050063>.
- Caselles ,V. & Sobrino, J., 1989, **Determination of Frosts in Orange Groves from NOAA-9 AVHRR Data**, Remote Sens. Environ., 29(2), PP. 135-146, [https://doi.org/10.1016/0034-4257\(89\)90022-9](https://doi.org/10.1016/0034-4257(89)90022-9).
- Colman, R., 2003, **A Comparison of Climate Feedbacks in General Circulation Models**, Clim. Dyn., 20(7), PP. 865-873, <https://doi.org/10.1007/s00382-003-0310-z>.
- De Haan, S., Barlag, S., Baltink, H.K., Debie, F. & Van Der Marel, H., 2004, **Synergetic Use of GPS Water Vapor and Meteosat Images for Synoptic Weather Forecasting**, J. Appl. Meteorol., 43(3), PP. 514-518, [https://doi.org/10.1175/1520-0450\(2004\)043<514:SUOGWV>2.0.CO;2](https://doi.org/10.1175/1520-0450(2004)043<514:SUOGWV>2.0.CO;2).
- Epeloa J. & Meza, A., 2018, **Total Column Water Vapor Estimation over Land Using Radiometer Data from SAC-D/Aquarius**, Adv. Space Res., 61(4), PP. 1025-1034, <https://doi.org/10.1016/j.asr.2017.11.023>.

ضروری است. بنابراین، با هدف استفاده از قابلیت محصولات و داده‌های ماهواره‌محور و تلفیق آنها با یکدیگر و مشاهدات زمینی، در این تحقیق روش‌هایی جدید و نوآورانه، به منظور بازیابی نسبت اختلاط بخارآب نزدیک به سطح جو با دقت مناسب و توان تفکیک یک کیلومتر بیان شد.

در روش اول، با استفاده از داده‌های سنجنده مادیس و مشاهدات بخارآب نزدیک به سطح ایستگاه‌های زمینی، طی روش نسبت باندی، نسبت اختلاط بخارآب نزدیک به سطح با توان تفکیک یک کیلومتر برآورد شد. با توجه به دقت بسیار بالای مشاهدات زمینی، در روش دوم ابتدا مشاهدات بخارآب نزدیک به سطح ایستگاه‌های زمینی، با درون‌بیابی، به توان تفکیک یک کیلومتر رسید و سپس با ارائه روشی نوآورانه، از مقادیر بخارآب برآورده شده در مرحله اول استفاده شد تا خطای درون‌بیابی در هر پیکسل تصحیح شود. محصول بخارآب نزدیک به سطح سنجنده AIRS داده‌های سنجنده مادیس و مشاهدات ایستگاه‌های زمینی، همزمان، در مرحله سوم به کار رفتند تا توان تفکیک مکانی محصول بخارآب نزدیک به سطح سنجنده AIRS ارتقا یابد. این مرحله شامل حذف اریبی محصول بخارآب نزدیک به سطح سنجنده AIRS، طی مرحله هم‌مقیاس‌سازی و درنهایت، برآورد پارامتر بخارآب نزدیک به سطح در توان تفکیک مدنظر بود. در روش چهارم نیز دقت محصولات بخارآب سنجنده مادیس با توان تفکیک یک کیلومتر، ارزیابی شد. با اعتبارسنجی نتایج بازیابی چهار روش و مقایسه آنها مشخص شد همه روش‌ها، در بازیابی بخارآب نزدیک به سطح، عملکرد مناسبی دارند؛ اگرچه روش مبتنی بر استفاده همزمان داده‌های ماهواره‌ای مادیس و مشاهدات ایستگاه‌های زمینی و نیز روش مبتنی بر استفاده از محصول بخارآب سنجنده مادیس، در بازیابی بخارآب نزدیک به سطح با توان تفکیک یک کیلومتر، بهترین و ضعیف‌ترین عملکرد را داشتند. به منظور دست‌بیابی به دقت بالاتر و کاهش خطاهای

- Fragkos, K., Antonescu, B., Giles, D.M., Ene, D., Boldeanu, M., Efstratiou, G.A., Belegante, L. & Nicolae, D., 2019, **Assessment of the Total Precipitable Water from a Sun Photometer, Microwave Radiometer and Radiosondes at a Continental Site in Southeastern Europe**, Atmos. Meas. Tech., 12(3), PP. 1979-1997, <https://doi.org/10.5194/amt-12-1979-2019>.
- French, A., Norman, J. & Anderson, M., 2003, **A Simple and Fast Atmospheric Correction for Spaceborne Remote Sensing of Surface Temperature**, Remote Sens. Environ., 87(2-3), PP. 326-333, <https://doi.org/10.1016/j.rse.2003.08.001>.
- Gong, S., Chen, W., Zhang, C., Wu, P. & Han, J., 2020, **Intercomparisons of Precipitable Water Vapour Derived from Radiosonde, GPS and Sunphotometer Observations**, Geod. Vestn., 64(4), PP. 562-577, 2020, <https://doi.org/10.15292/geodetski-vestnik.2020.04.562-577>.
- Güldner, J. & Spänkuch, D., 2001, **Remote Sensing of the Thermodynamic State of the Atmospheric Boundary Layer by Ground-Based Microwave Radiometry**, J. Atmos. Ocean. Technol., 18(6), PP. 925-933, [https://doi.org/10.1175/1520-0426\(2001\)018<0925:RSOTTS>2.0.CO;2](https://doi.org/10.1175/1520-0426(2001)018<0925:RSOTTS>2.0.CO;2).
- Julien, Y., Sobrino, J., Mattar, C. & Jiménez-Muñoz, J.C., 2015, **Near-Real-Time Estimation of Water Vapor Column from MSG-SEVIRI Thermal Infrared Bands: Implications for Land Surface Temperature Retrieval**, IEEE Trans. Geosci. Remote Sens., 53(8), PP. 4231-4237, <https://doi.org/10.1109/TGRS.2015.2393378>.
- Kaufman, Y.J. & Gao, B.C., 1992, **Remote Sensing of Water Vapor in the Near IR from EOS/MODIS**, IEEE Trans. Geosci. Remote Sens., 30(5), PP. 871-884, <https://doi.org/10.1109/36.175321>.
- Kern, A., Bartholy, J., Borbás, E.E., Barcza, Z., Pongrácz, R. & Ferencz, C., 2008, **Estimation of Vertically Integrated Water Vapor in Hungary Using MODIS Imagery**, Adv. Space Res., 41(11), PP. 1933-1945, <https://doi.org/10.1016/j.asr.2007.06.048>.
- Khaniani, A.S., Nikraftar, Z. & Zakeri, S., 2020, **Evaluation of MODIS Near-IR Water Vapor Product over Iran Using Ground-Based GPS Measurements**, Atmos. Res., 231(104657), <https://doi.org/10.1016/j.atmosres.2019.104657>.
- Khouni, I., Louhichi, G. & Ghrabi, A., 2018, **Use of GIS Based Inverse Distance Weighted Interpolation to Assess Surface Water Quality: Case of Wadi El Bey, Tunisia**, Environ. Technol. Innov., 24(101892), <https://doi.org/10.1016/j.eti.2021.101892>.
- Li, X. & Long, D., 2020, **An Improvement in Accuracy and Spatiotemporal Continuity of the MODIS Precipitable Water Vapor Product Based on a Data Fusion Approach**, Remote Sens. Environ., 248(111966), <https://doi.org/10.1016/j.rse.2020.111966>.
- Moradizadeh, M., Momeni, M. & Saradjian, M.R., 2014, **Estimation and Validation of Atmospheric Water Vapor Content Using a MODIS NIR Band Ratio Technique Based on AIRS Water Vapor Products**, Arab. J. Geosci., 7(5), PP. 1891-1897, <https://doi.org/10.1007/s12517-013-0828-2>.
- Peters, G., 2001, **Ground Based Remote Profiling of the Atmosphere: Demands, Prospects and Status**, Phys. Chem. Earth, 26(3), PP. 175-180, [https://doi.org/10.1016/S1464-1909\(00\)00236-7](https://doi.org/10.1016/S1464-1909(00)00236-7).
- Rockström, M., Gordon, L., Folke, C., Falkenmark, M. & Engwall, M., 1999, **Linkages among Water Vapor Flows, Food Production, and Terrestrial Ecosystem Services**, Ecol. Soc., 3(2), <https://doi.org/10.5751/ES-00142-030205>.
- Román, R., Antón, M., Cachorro, V.E., Loyola, D., Ortiz de Galisteo, J.P., de Frutos, A. & Romero-Campos, P.M., 2015, **Comparison of Total Water Vapor Column from GOME-2 on MetOp-A against Ground-Based GPS Measurements at the Iberian Peninsula**, Sci. Total Environ., 533(317-328), <https://doi.org/10.1016/j.scitotenv.2015.06.124>.
- Schrijver, H., Gloudemans, A., Frankenberg, C. & Aben, I., 2009, **Water Vapour Total**

- Columns from SCIAMACHY Spectra in the 2.36 μ m Window,** Atmos. Meas. Tech., 2, PP. 561-571, <https://doi.org/10.5194/amt-2-561-2009>.
- Sheil, D., 2018, **Forests, Atmospheric Water and an Uncertain Future: The New Biology of the Global Water Cycle,** For. Ecosyst., 5(19), <https://doi.org/10.1186/s40663-018-0138-y>.
- Sobrino, J., 2003, **Zonas metropolitanas de México en 2000: Conformación territorial y movilidad de la población ocupada,** Estud. Demogr. Urbanos Col. Mex., 18(3), PP. 461-507, <https://doi.org/10.24201/edu.v18i3.1156>.
- Sobrino, J., El Kharraz, J. & Li, J.L., 2003, **Surface Temperature and Water Vapour Retrieval from MODIS Data,** Int. J. Remote Sens., 24(24), PP. 5161-5182, <https://doi.org/10.1080/0143116031000102502>.
- Stum, J., Sicard, P., Carrere, L. & Lambin, J., 2011, **Using Objective Analysis of Scanning Radiometer Measurements to Compute the Water Vapor Path Delay for Altimetry,** IEEE Trans. Geosci. Remote Sens., 49(9), PP. 3211-3224, <https://doi.org/10.1109/TGRS.2011.2104967>.
- Wan, Z., Zhang, Y., Zhang, Q. & Li, Z.L., 2002, **Validation of the Land-Surface Temperature Products Retrieved from TERRA Moderate Resolution Imaging Spectroradiometer Data,** Remote Sens. Environ., 83(1-2), PP. 163-180, [https://doi.org/10.1016/S0034-4257\(02\)00093-7](https://doi.org/10.1016/S0034-4257(02)00093-7).
- Wolfe, D.E. & Gutman, S.I., 2000, **Developing an Operational, Surface-Based, GPS, Water Vapor Observing System for NOAA, Network Design and Results,** J. Atmos. Ocean Tech., 17(4), PP. 426-440, [https://doi.org/10.1175/1520-0426\(2000\)017<0426:DAOSBG>2.0.CO;2](https://doi.org/10.1175/1520-0426(2000)017<0426:DAOSBG>2.0.CO;2).
- Xu, J. & Liu, Z., 2021, **The First Validation of Sentinel-3 OLCI Integrated Water Vapor Products Using Reference GPS Data in Mainland China,** IEEE Trans. Geosci. Remote Sens., 60, PP. 1-17, <https://doi.org/10.1109/TGRS.2021.3099168>.
- Zhao, Y. & Zhou, T., 2020, **Asian Water Tower Evinced in Total Column Water Vapor: A Comparison among Multiple Satellite and Reanalysis Data Sets,** Clim. Dyn., 4(1-2), PP. 231-245, <https://doi.org/10.1007/s00382-019-04999-4>.

